

Лабораторная работа № 2
по курсу "Спецпроцессоры"
Изучение процессора CORDIC

Цель работы: разработать схему устройства, реализующего алгоритм CORDIC для чисел с фиксированной запятой в дополнительном коде (8-разрядных) в разных модификациях, исследовать его работу средствами САПР ПЛИС Quartus II.

Алгоритм CORDIC (COordinate Rotation DIgital Computer – цифровой компьютер для вращения координат) предназначен для поворота двумерного вектора на заданный угол. Данная операция может быть записана следующим образом:

$$\begin{pmatrix} x' \\ y' \end{pmatrix} = \begin{pmatrix} \cos \alpha & -\sin \alpha \\ \sin \alpha & \cos \alpha \end{pmatrix} \begin{pmatrix} x \\ y \end{pmatrix}, \quad (1)$$

где $\mathbf{a} = \begin{pmatrix} x \\ y \end{pmatrix}$ – исходный преобразуемый вектор, $\mathbf{a}' = \begin{pmatrix} x' \\ y' \end{pmatrix}$ – вектор-результат, α – угол, на который необходимо повернуть вектор \mathbf{a} ,

$$\mathbf{R}(\alpha) = \mathbf{R} = \begin{pmatrix} \cos \alpha & -\sin \alpha \\ \sin \alpha & \cos \alpha \end{pmatrix} - \quad (2)$$

матрица вращения. Преобразование (1) может быть также записано в матричной форме:

$$\mathbf{a}' = \mathbf{R}\mathbf{a}, \quad (3)$$

и называется вращением Гивенса или преобразованием Гивенса.

На рис. 1 показана геометрическая интерпретация преобразования Гивенса.

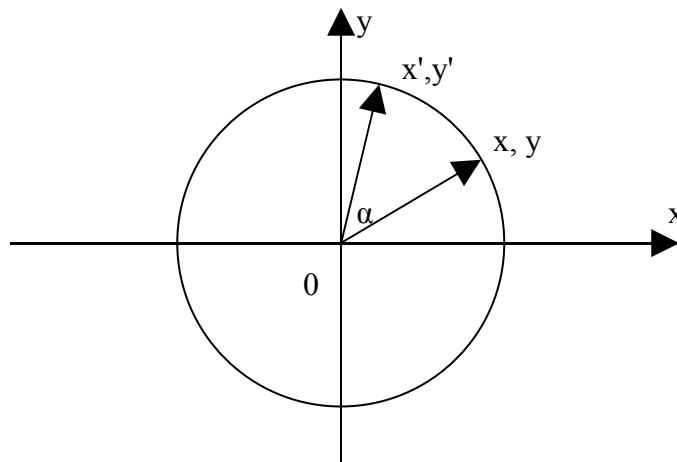


Рис. 1 – геометрическая интерпретация преобразования Гивенса

Выполнение преобразования (1) требует вычисления тригонометрических функций, умножения вычисленных значений на координаты исходного вектора и наконец вычисление сумм и разностей полученных произведений. Данные операции достаточно сложно реализуются аппаратно, не могут выполняться параллельно, плохо конвейеризуются, следовательно, реализующее их устройство будет иметь большую аппаратную сложность и низкую производительность.

Идея алгоритма CORDIC состоит в преобразовании (1) в множество простых, легко реализуемых аппаратно операций, таких как сложение, вычитание, определение знака числа и двоичный сдвиг (умножение на степень 2). Для этого α раскладывается в виде:

$$\alpha = \sum_{k=0}^{\infty} \zeta_k \Delta \alpha_k, \quad (3)$$

где $\zeta_k \in X = \{+1, -1\}$ – операторы направления вращения,

$$\Delta \alpha_k = \arctg 2^{-k} - \quad (4)$$

базисные углы, выбираемые из I квадранта координатной плоскости (таблица 1).

Таблица 1. Значения некоторых базисных углов

k	$\Delta\alpha_k$	
	рад	град
0	$\pi/4$	45,00
1	0,4636	26,57
2	0,2450	14,04
3	0,1244	7,13
4	0,0624	3,58
5	0,0312	1,79
6	0,0156	0,90
7	0,0078	0,45
8	0,0039	0,22

Заметим, что (3) является записью α в позиционной системе счисления с цифрами X и весами $\Delta\alpha_k$.

Прочие свойства членов ряда (3):

$$\forall k \geq 0: \Delta\alpha_k > 0, \quad (5)$$

$$\sum_{k=0}^{\infty} \Delta\alpha_k = \alpha_{\max} \approx 1,74 \approx 100^\circ, \quad (6)$$

$$\lim_{k \rightarrow \infty} \Delta\alpha_k = 0. \quad (7)$$

Из (5) – (7) следует, что $\forall \alpha: -\alpha_{\max} \leq \alpha \leq \alpha_{\max}$ может быть представлено рядом (3), если выполняется условие:

$$\forall k \geq 0: \Delta\alpha_k \leq \sum_{m=k+1}^{\infty} \Delta\alpha_m. \quad (8)$$

Из (4) следует, что условие (8) выполняется.

Композиция поворотов есть поворот на суммарный угол:

$$\mathbf{R}(\alpha_2)\mathbf{R}(\alpha_1)\mathbf{a} = \mathbf{R}(\alpha_1 + \alpha_2)\mathbf{a}, \quad (9)$$

следовательно, (3) позволяет заменить поворот на угол α последовательностью поворотов на базисные углы:

$$\mathbf{R}\left(\sum_{k=0}^{\infty} \zeta_k \Delta\alpha_k\right) = \prod_{k=0}^{\infty} \mathbf{R}(\zeta_k \Delta\alpha_k), \quad (10)$$

или, учитывая коммутативность произведений \mathbf{R} :

$$\begin{cases} \mathbf{a}_0 = \mathbf{a}, \\ \mathbf{a}_{k+1} = \mathbf{R}(\zeta_k \Delta\alpha_k) \mathbf{a}_k, \\ \mathbf{a}' = \lim_{k \rightarrow \infty} \mathbf{a}_k, \end{cases} \quad (11)$$

где

$$\mathbf{a}_k = \left(\prod_{m=0}^{k-1} \mathbf{R}(\zeta_m \Delta\alpha_m) \right) \mathbf{a} - \quad (12)$$

преобразуемый вектор \mathbf{a} перед выполнением k -й итерации (11), $k \geq 0$.

На рис. 2 процесс (11) продемонстрирован геометрически.

Для выполнения вращения на базисный угол преобразуем матрицу (2):

$$\mathbf{R}(\zeta_k \Delta\alpha_k) = \begin{pmatrix} \cos \Delta\alpha_k & -\zeta_k \sin \Delta\alpha_k \\ \zeta_k \sin \Delta\alpha_k & \cos \Delta\alpha_k \end{pmatrix} = \cos \Delta\alpha_k \begin{pmatrix} 1 & -\zeta_k \operatorname{tg} \alpha_k \\ \zeta_k \operatorname{tg} \alpha_k & 1 \end{pmatrix} =$$

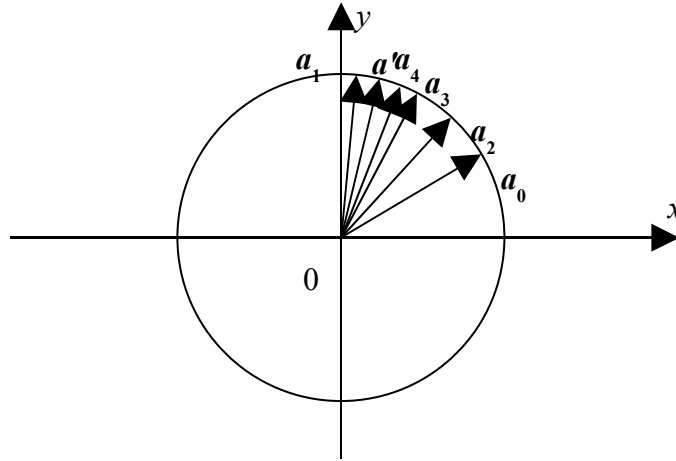


Рис. 2 – последовательность элементарных вращений

$$= \cos \Delta \alpha_k \begin{pmatrix} 1 & -\zeta_k 2^{-k} \\ \zeta_k 2^{-k} & 1 \end{pmatrix} = \cos \Delta \alpha_k R_k, \quad (13)$$

где:

$$R_k = \begin{pmatrix} 1 & -\zeta_k 2^{-k} \\ \zeta_k 2^{-k} & 1 \end{pmatrix}. \quad (14)$$

Обозначим:

$$\tilde{a}_0 = a_0 = a. \quad (15)$$

$$a_{k+1}^{\sim} = R_k \tilde{a}_k, \quad (16)$$

тогда

$$\begin{aligned} \tilde{a}_k &= \left(\prod_{m=0}^{k-1} R_m \right) a = \left(\prod_{m=0}^{k-1} \frac{1}{\cos \Delta \alpha_m} R(\Delta \alpha_m) \right) a = \left(\prod_{m=0}^{k-1} \frac{1}{\cos \Delta \alpha_m} \right) \left(\prod_{m=0}^{k-1} R(\Delta \alpha_m) \right) a = \\ &= \left(\prod_{m=0}^{k-1} \frac{1}{\cos \Delta \alpha_m} \right) a_k, \end{aligned} \quad (17)$$

$$a' = \lim_{k \rightarrow \infty} a_k = \lim_{k \rightarrow \infty} \left(\prod_{m=0}^{k-1} \cos \Delta \alpha_m \right) \tilde{a}_k = \left(\prod_{m=0}^{\infty} \cos \Delta \alpha_m \right) \lim_{k \rightarrow \infty} \tilde{a}_k = \frac{1}{K} \lim_{k \rightarrow \infty} \tilde{a}_k, \quad (18)$$

где

$$K = \prod_{m=0}^{\infty} \frac{1}{\cos \Delta \alpha_m} = \prod_{m=0}^{\infty} \sqrt{1 + 2^{-2m}} \approx 1,646760 \quad (19)$$

коэффициент масштабирования.

Для вычисления ζ_k обозначим угол между текущим вектором a_k и искомым a' через $\tilde{\alpha}_k$. После поворота текущего вектора этот угол уменьшается на величину поворота:

$$\alpha_{k+1}^{\sim} = \tilde{\alpha}_k - \zeta_k \Delta \alpha_k, \quad (20)$$

Данный угол должен из двух возможных значений принять то, что ближе к нулю:

$$\alpha_{k+1}^{\sim} = \begin{cases} \tilde{\alpha}_k - \Delta \alpha_k, & \text{если } \tilde{\alpha}_k > 0 \\ \tilde{\alpha}_k + \Delta \alpha_k, & \text{если } \tilde{\alpha}_k \leq 0 \end{cases} = \tilde{\alpha}_k - \text{sign}(\tilde{\alpha}_k) \Delta \alpha_k, \quad (21)$$

то есть:

$$\zeta_k = \text{sign} \tilde{\alpha}_k. \quad (22)$$

Таким образом, преобразование (1) заменяется итерационным алгоритмом:

$$\begin{cases}
\begin{pmatrix} x \\ y \end{pmatrix}' = \frac{1}{K} \lim_{k \rightarrow \infty} \begin{pmatrix} \tilde{x}_k \\ \tilde{y}_k \end{pmatrix}, \\
K = \prod_{m=0}^{\infty} \sqrt{1 + 2^{-2m}}, \\
\begin{pmatrix} \tilde{x}_{k+1} \\ \tilde{y}_{k+1} \end{pmatrix} = \begin{pmatrix} 1 & -\zeta_k 2^{-k} \\ \zeta_k 2^{-k} & 1 \end{pmatrix} \begin{pmatrix} \tilde{x}_k \\ \tilde{y}_k \end{pmatrix}, \\
\begin{pmatrix} \tilde{x}_0 \\ \tilde{y}_0 \end{pmatrix} = \begin{pmatrix} x \\ y \end{pmatrix}, \\
\zeta_k = \text{sign } \tilde{\alpha}_k, \\
\tilde{\alpha}_0 = \alpha, \\
\tilde{\alpha}_{k+1} = \tilde{\alpha}_k - \zeta_k \Delta \alpha_k, \\
\Delta \alpha_k = \text{arctg } 2^{-k}.
\end{cases} \quad (23)$$

Сходимость алгоритма (23) следует из соотношения (8). На практике при вычислении (1) используют конечное число итераций (23), зависящее от необходимой точности и, как правило, связанное с разрядностью обрабатываемых значений. Если не учитывать деление на K , то все операции (23) являются простыми и легко реализуются аппаратурно (значения $\Delta \alpha_k$ являются константами, могут быть вычислены заранее и, например, храниться в ПЗУ). Что касается деления на K , то, во-первых, K является константой, не зависящей от входных значений x , y , α , поэтому деление на K может быть реализовано достаточно просто способами, которые будут рассмотрены ниже, а, во-вторых, в некоторых приложениях достаточно найти направление результирующего вектора без сохранения его модуля.

В основе одной итерации (23) лежит преобразование:

$$\tilde{a}_{k+1} = R_k \tilde{a}_k, \quad (24)$$

называемое не масштабированной итерацией CORDIC.

Операционное устройство, выполняющее k -ю итерацию преобразует входные значения \tilde{x}_k , \tilde{y}_k и $\tilde{\alpha}_k$ в выходные \tilde{x}_{k+1} , \tilde{y}_{k+1} и $\tilde{\alpha}_{k+1}$ (рис. 3). При этом существует два основных способа реализации (23): последовательный и конвейерный. В первом случае, существует всего одно операционное устройство, которое в качестве входного значения принимает также номер итерации k и на котором выполняются последовательно все итерации (23). Во втором случае количество операционных устройств равно количеству выполняемых операций, а номер итерации k является внутренним параметром операционного устройства. Последовательное и конвейерное устройства различаются аппаратурными затратами и производительностью. В любом случае, процессор CORDIC, то есть устройство, реализующее алгоритм (23) имеет три входа – x , y , α и два выхода – $\tilde{x} = Kx'$ и $\tilde{y} = Ky'$ (рис. 4).

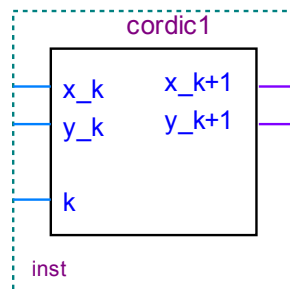


Рис. 3. Блок для реализации одной итерации CORDIC

Рассмотрим еще одну задачу, связанную с вращением вектора на плоскости: Выполнить поворот исходного вектора \mathbf{a} таким образом, чтобы он совместился с

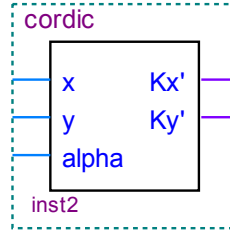


Рис. 4. Процессор CORDIC

горизонтальной осью координат, то есть $y' = 0$, при этом x' станет равным модулю исходного вектора a .

Из (1) следует, что:

$$y' = x \sin \alpha + y \cos \alpha, \quad (25)$$

следовательно, для решения задачи необходимо решить уравнение:

$$x \sin \alpha + y \cos \alpha = 0 \quad (26)$$

относительно $\sin \alpha$ и $\cos \alpha$, после чего построить из полученных значений матрицу и выполнить умножение матрицы на вектор, что является сложной задачей, трудно реализуемой аппаратурно. С другой стороны, вращение вектора, как было показано выше, реализуется алгоритмом CORDIC, пригодным для аппаратурной реализации. Чтобы применить алгоритм CORDIC для решения новой задачи, разложим неизвестный угол α в виде (3) и рассмотрим, каким образом меняется вторая компонента при выполнении одной итерации (23):

$$y_{k+1}^{\sim} = \tilde{y}_k + \zeta_k 2^{-k} \tilde{x}_k. \quad (27)$$

Поскольку для приближения к оси x необходимо производить вращение по часовой стрелке, когда a_k находится в верхней полуплоскости, то есть при $\tilde{y}_k > 0$ и, наоборот, против часовой стрелки, когда $\tilde{y}_k \leq 0$, а направление вращения определяется исключительно оператором ζ_k , нужно определять на каждой итерации $\zeta_k = -\text{sign } \tilde{y}_k$.

Обозначив через α_k угол, на который уже повернут вектор a к началу k -й итерации, получаем алгоритм:

$$\begin{aligned} \begin{pmatrix} x \\ y \end{pmatrix}' &= \begin{pmatrix} \sqrt{x^2 + y^2} \\ 0 \end{pmatrix} = \frac{1}{K} \lim_{k \rightarrow \infty} \begin{pmatrix} \tilde{x}_k \\ \tilde{y}_k \end{pmatrix}, \\ K &= \prod_{m=0}^{\infty} \sqrt{1 + 2^{-2m}}, \\ \begin{pmatrix} \tilde{x}_{k+1} \\ \tilde{y}_{k+1} \end{pmatrix} &= \begin{pmatrix} 1 & -\zeta_k 2^{-k} \\ \zeta_k 2^{-k} & 1 \end{pmatrix} \begin{pmatrix} \tilde{x}_k \\ \tilde{y}_k \end{pmatrix}, \\ \begin{pmatrix} \tilde{x}_0 \\ \tilde{y}_0 \end{pmatrix} &= \begin{pmatrix} x \\ y \end{pmatrix}, \\ \zeta_k &= -\text{sign } \tilde{y}_k, \\ \alpha_0 &= 0, \\ \alpha_{k+1} &= \alpha_k + \zeta_k \Delta \alpha_k, \\ \Delta \alpha_k &= \arctg 2^{-k}, \\ \lim_{k \rightarrow \infty} \alpha_k &= \arctg \frac{y}{x}. \end{aligned} \quad (28)$$

Приведенный алгоритм называется векторным режимом или режимом приложения алгоритма CORDIC, а алгоритм (23) – режимом вращения или режимом вычисления.

Порядок выполнения работы :

1. Синтезировать схему арифметического устройства для выполнения одной итерации алгоритма CORDIC. При синтезе данной схемы и всех последующих возможно использование языка VHDL.

2. Разработать схему последовательного процессора CORDIC.

3. Разработать схему конвейерного процессора CORDIC. Сравнить производительность полученного устройства с предыдущим.

4*. Разработать схему последовательного или конвейерного процессора CORDIC в режиме векторизации.

Содержание отчета :

Протокол работы должен содержать схему арифметического устройства и схему синхронизации CORDIC, временные диаграммы работы устройства на одной итерации и при выполнении преобразований в целом в двух основных режимах. При реализации устройства средствами языка VHDL приводится текст программы.